

Projeto 1 - Métodos Computacionais em Física

Rodrigo da Motta Cabral de Carvalho

NUSP:11224309

08/05/2022

1 Resumo

O caos é um tema amplamente estudado em diversas áreas, como física, matemática, estatística, computação, entre outras, ajudando na compreensão de muitos fenômenos da natureza bastante complexos e em alguns casos bastante simples. Esse projeto consiste na análise do pendulo duplo, um dos mais simples sistemas caóticos de todos. Para realizar tal análise, o uso de ferramentas numéricas são essenciais. Diante disso, foi realizada uma rotina usando algoritmo de Runge-Kutta de ordem 2 para a resolução numérica das equações diferenciais de Lagrange e de Hamilton-Jacob, primeiramente para o a aproximação $m_1 \gg m_2$, e posteriormente para o caso geral. Dessa forma, é possível explorar como o sistema muda com a variação das condições iniciais, observando que o sistema se torna caótico em certos casos.

2 Introdução

2.1 Pendulo Duplo

O pendulo duplo consiste basicamente em duas massas, m_1 e m_2 , ligadas a fios de comprimento l_1 e l_2 , respectivamente, sob a ação da força da gravidade g .

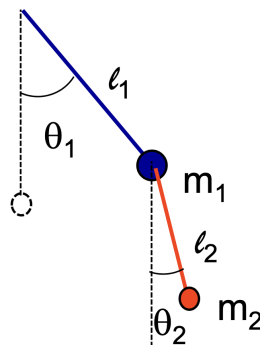


Figura 1: Esquema do pendulo duplo

Para descrever o sistema, a formulação Lagrangeana simplifica as contas e as tornam mais diretas.

2.1.1 Aproximação $m_1 \gg m_2$

Primeiramente, basta escrever a Lagrangeana do sistema $\mathcal{L} = T - V$, em que K é a energia cinética e V a energia potencial, em termos dos ângulos entre os fios e a normal.

$$T = \frac{1}{2}m_1\dot{x}_1^2 + \frac{1}{2}m_2\dot{x}_2^2 \quad (1)$$

$$V = -m_1gy_1 - m_2gy_2,$$

Escrevendo em termo das coordenadas generalizadas, θ_1 e θ_2 , vamos utilizar um pouco de geometria.

$$x_1 = \ell_1 \sin \theta_1, \quad y_1 = \ell_1 \cos \theta_1, \quad (2)$$

$$x_2 = \ell_1 \sin \theta_1 + \ell_2 \sin \theta_2 \quad y_2 = \ell_1 \cos \theta_1 + \ell_2 \cos \theta_2. \quad (3)$$

$$(4)$$

A partir disso, o vínculo do sistema fica evidente,

$$(x_2 - x_1)^2 + (y_2 - y_1)^2 - \ell_2^2 = 0. \quad (5)$$

Logo, substituindo as relações na Lagrangeana,

$$\mathcal{L} = \frac{m_1 + m_2}{2}\ell_1^2\dot{\theta}_1^2 + \frac{m_2\ell_2^2}{2}\dot{\theta}_2^2 + m_2\ell_1\ell_2\dot{\theta}_1\dot{\theta}_2\cos(\theta_1 - \theta_2) + (m_1 + m_2)g\ell_1\cos\theta_1 + m_2g\ell_2\cos\theta_2. \quad (6)$$

Aplicando a definição,

$$p_\theta = \frac{\partial \mathcal{L}}{\partial \dot{\theta}}, \quad \frac{dp_\theta}{dt} = \frac{\partial \mathcal{L}}{\partial \theta}, \quad (7)$$

Para encontrar as equações diferenciais acopladas de Euler-Lagrange, vamos aplicar a aproximação $m_1 \gg m_2$, em que $(m_1 + m_2) \approx m_1$.

$$p_{\theta_1} \approx m_1\ell_1^2\dot{\theta}_1 + m_2\ell_1\ell_2\dot{\theta}_2\cos(\theta_1 - \theta_2), \quad (8a)$$

$$p_{\theta_2} = m_2\ell_2^2\dot{\theta}_2 + m_2\ell_1\ell_2\dot{\theta}_1\cos(\theta_1 - \theta_2), \quad (8b)$$

$$\dot{p}_{\theta_1} \approx -m_1g\ell_1\sin\theta_1 - m_2\ell_1\ell_2\dot{\theta}_1\dot{\theta}_2\sin(\theta_1 - \theta_2), \quad (8c)$$

$$\dot{p}_{\theta_2} = -m_2g\ell_2\sin\theta_2 + m_2\ell_1\ell_2\dot{\theta}_1\dot{\theta}_2\sin(\theta_1 - \theta_2). \quad (8d)$$

Isolando o $\dot{\theta}_1$ e $\dot{\theta}_2$,

$$\frac{d\theta_1}{dt}\theta_1(t) = \frac{p_{\theta_1}}{m_1\ell_1^2} - \frac{p_{\theta_2}\cos(\theta_1 - \theta_2)}{m_1\ell_1\ell_2}, \quad (9a)$$

$$\frac{d\theta_2}{dt}\theta_2(t) = \frac{p_{\theta_2}}{m_2\ell_2^2} - \frac{p_{\theta_1}\cos(\theta_1 - \theta_2)}{m_1\ell_1\ell_2}, \quad (9b)$$

$$\frac{dP_{\theta_1}}{dt} = -m_1g\ell_1\sin\theta_1 - \frac{p_{\theta_1}p_{\theta_2}\sin(\theta_1 - \theta_2)}{m_1\ell_1\ell_2}, \quad (9c)$$

$$\frac{dP_{\theta_2}}{dt} = -m_2g\ell_2\sin\theta_2 + \frac{p_{\theta_1}p_{\theta_2}\sin(\theta_1 - \theta_2)}{m_1\ell_1\ell_2}. \quad (9d)$$

em que a energia será descrita por

$$E = \frac{p_{\theta_1}^2}{2m_1\ell_1^2} + \frac{p_{\theta_2}^2}{2m_2\ell_2^2} - \frac{p_{\theta_1}^2 p_{\theta_2}^2 \cos(\theta_1 - \theta_2)}{m_1\ell_1\ell_2} + m_1 g \ell_1 (1 - \cos \theta_1) + m_2 g \ell_2 (1 - \cos \theta_2). \quad (10)$$

Assim, a utilização das ferramentas numéricas serão bastante úteis para resolver o conjunto de equações diferenciais (8) que descrevem o sistema.

2.1.2 Caso geral

Para o caso geral, a aproximação não vale mais, gerando as equações de Euler-Lagrange da seguinte forma

$$p_{\theta_1} = (m_1 + m_2)\ell_1^2 \dot{\theta}_1 + m_2 \ell_1 \ell_2 \dot{\theta}_2 \cos(\theta_1 - \theta_2), \quad (11a)$$

$$p_{\theta_2} = m_2 \ell_2^2 \dot{\theta}_2 + m_2 \ell_1 \ell_2 \dot{\theta}_1 \cos(\theta_1 - \theta_2), \quad (11b)$$

$$\dot{p}_{\theta_1} = -(m_1 + m_2)g\ell_1 \sin \theta_1 - m_2 \ell_1 \ell_2 \dot{\theta}_1 \dot{\theta}_2 \sin(\theta_1 - \theta_2), \quad (11c)$$

$$\dot{p}_{\theta_2} = -m_2 g \ell_2 \sin \theta_2 + m_2 \ell_1 \ell_2 \dot{\theta}_1 \dot{\theta}_2 \sin(\theta_1 - \theta_2). \quad (11d)$$

Isolando o $\dot{\theta}_1$ e $\dot{\theta}_2$,

$$\frac{d\theta_1}{dt} = \frac{\ell_2 p_{\theta_1} - \ell_1 p_{\theta_2} \cos(\theta_1 - \theta_2)}{\ell_1^2 \ell_2 [m_1 + m_2 \sin^2(\theta_1 - \theta_2)]}, \quad (12a)$$

$$\frac{d\theta_2}{dt} = \frac{-\ell_2 p_{\theta_1} \cos(\theta_1 - \theta_2) + \ell_1 (1 + m_1/m_2) p_{\theta_2}}{\ell_1 \ell_2^2 [m_1 + m_2 \sin^2(\theta_1 - \theta_2)]}, \quad (12b)$$

$$\frac{dp_{\theta_1}}{dt} = -(m_1 + m_2)g\ell_1 \sin \theta_1 - A + B, \quad (12c)$$

$$\frac{dp_{\theta_2}}{dt} = -m_2 g \ell_2 \sin \theta_2 + A - B, \quad (12d)$$

em que as constantes são

$$A = \frac{p_{\theta_1} p_{\theta_2} \sin(\theta_1 - \theta_2)}{\ell_1 \ell_2 [m_1 + m_2 \sin^2(\theta_1 - \theta_2)]},$$

$$B = \frac{\ell_2^2 m_2 p_{\theta_1}^2 + \ell_1^2 (m_1 + m_2) p_{\theta_2}^2 - \ell_1 \ell_2 m_2 p_{\theta_1} p_{\theta_2} \cos(\theta_1 - \theta_2)}{2\ell_1^2 \ell_2^2 [m_1 + m_2 \sin^2(\theta_1 - \theta_2)]^2} \sin [2(\theta_1 - \theta_2)].$$

A energia é dada por

$$E = \frac{1}{1 + \frac{m_1}{m_2} \sin^2(\theta_1 - \theta_2)} \left[\frac{p_{\theta_1}^2}{2m_1\ell_1^2} + \frac{(m_1 + m_2)p_{\theta_2}^2}{2m_1 m_2 \ell_2^2} - \frac{p_{\theta_1}^2 p_{\theta_2}^2 \cos(\theta_1 - \theta_2)}{m_1 \ell_1 \ell_2} \right] + (m_1 + m_2)g\ell_1 (1 - \cos \theta_1) + m_2 g \ell_2 (1 - \cos \theta_2). \quad (13)$$

2.2 Seção de Poincaré

A seção de Poincaré é uma forma de visualizar o espaço de fases para casos maiores que 3 dimensões. No caso do pendulo duplo, temos 4 graus de liberdade, o que gera um espaço de fase 4D, e, para a visualização em 2D, basta utilizar um "corte". Para o problema, será utilizada uma "fatia", em que $\theta_2 = 0$, ou então, quando $\theta_1 = 0$.

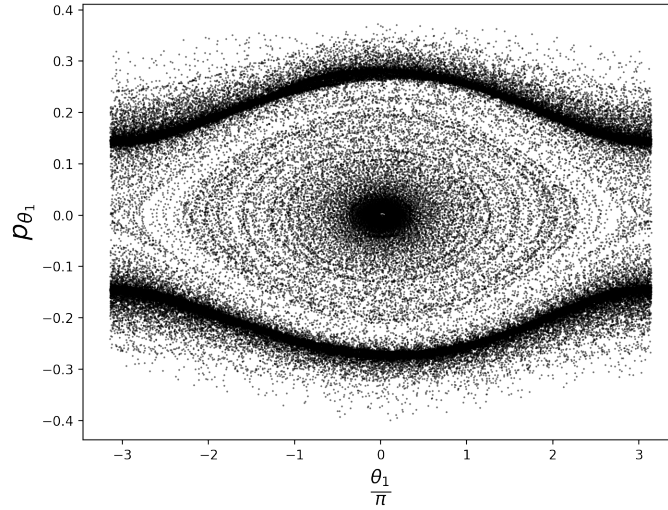


Figura 2: Exemplo de uma Seção de Poincaré para o pendulo duplo. Os parâmetros utilizados foram $m_1 = 0.1 \text{ kg}$, $m_2 = 0.005 \text{ kg}$, $\theta_1(0) = 0$, $\theta_2(0) = \pi/2$, $p_{\theta_2}(0) = 0$ e $p_{\theta_1}(0)$ variando de -0.41 até 0.41 em passos de 0.01 . Além disso, utilizou-se $\ell_1 = 0.5 \text{ m}$ e $\ell_2 = 0.2 \text{ m}$, em que o tempo final foi $Tf = 100 \text{ s}$ com passos $\Delta t = 0.01 \text{ s}$. Na figura, todas as grandezas estão em unidades do SI.

3 Algoritmo

3.1 Método de Runge-Kutta de segunda ordem

Para resolver as equações de movimento será utilizado o método de Runge-Kutta de segunda ordem. O método consiste basicamente na definição de derivada

$$\frac{df}{dt} \approx \frac{f(t + \Delta t) - f(t)}{\Delta t} \quad (14)$$

utilizando a discretização do tempo, $t_n = (n - 1)\Delta t$, e considerando meio passo seguindo a seguinte forma

$$\begin{aligned} K_1^f &= f_n \Delta t \\ f_{1/2} &= f_n + K_1^f \Delta t \\ K_2^f &= f_{1/2} \Delta t \\ f_{n+1} &= f_n + K_2^f \end{aligned} \quad (15)$$

chega-se ao método de Runge Kutta de segunda ordem.

Como o problema do pendulo duplo tem 4 equações diferenciais acopladas, será necessário resolver todas simultaneamente pelo método, ou seja, $(\theta_1, \theta_2, p_{\theta_1}, p_{\theta_2})$.

3.2 O código

O código do método de Runge Kutta foi feito no formato de classe, então, para os usuários não familiarizados, será brevemente explicado como utilizar uma classe em python.

Primeiramente, é importante ter o arquivo do projeto no diretório do environment, ou então, no mesmo diretório do arquivo .py que vai chamar a classe. Para importar a classe basta escrever *from rodrigodamottacabraldecarvalho.projeto1 import double_pendulum*.

Após importar a classe é preciso criar um objeto chamado pêndulo duplo, informando as respectivas massas e comprimento de fio. Assim, para criar o sistema físico e a solução da equações, basta colocar as condições iniciais e explicitar a aproximação de $m_1 \gg m_2$ ou $m_1 = m_2$ (caso geral) como mostra a Fig 3. A variável que recebeu o sistema será composta de um array 4D com as soluções de $\theta_1, \theta_2, p_{\theta_1}, p_{\theta_2}$ para as condições estabelecidas. Para acessar basta usar *array4D = p1.data*

Para avaliar parte do comportamento do sistema, existe a função *poincare_section* da classe dizendo que, como não é possível visualizar a fatia do espaço de fases em 4D, é utilizado a fatia referente a m_1 ou m_2 . Essa fatia é avaliada no ponto em que θ_1 ou θ_2 passa pelo zero. Esse método retorna um array 2D com a Seção de Poincaré.

```
from Project1 import double_pendulum

# condições iniciais ( m1 = 0.1, m2=0.005, l1=0.5, l2=0.2 )

p1 = double_pendulum(m1=0.1, m2=0.005, l1=0.5, l2=0.2)

p1.system(x10=0, v10=0.08, x20=np.pi/2, v20=0, Tf=5000, dt=0.01, equations="m1>>m2")

section = p1.poincare_section(phase_space='m1')
```

Figura 3: Exemplo para utilizar a classe

4 Análise

4.1 Verificação da aproximação

Para verificar a aproximação $m_1 \gg m_2$, foram utilizado 2 casos, o primeiro caso $m_1/m_2 = 100$,

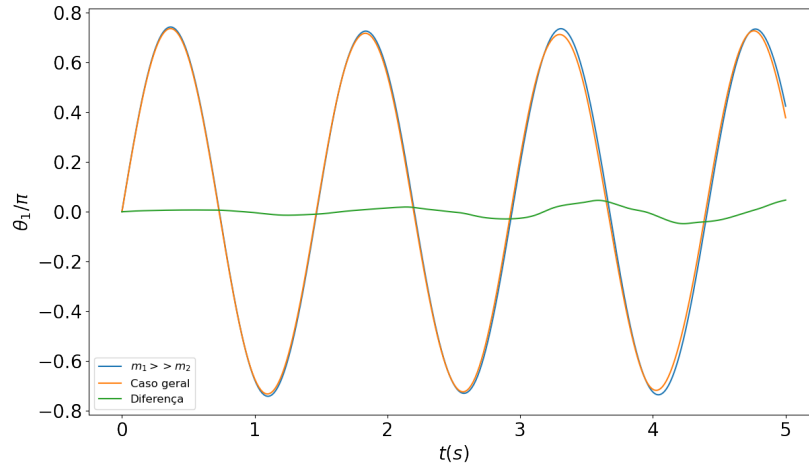


Figura 4: Plot usando $m_1/m_2 = 100$ com a aproximação $m_1 \gg m_2$, o caso geral e a diferença entre as duas curvas, utilizando o passo $\Delta t = 0.01$ s. Os parâmetros utilizados foram $m_1 = 0.1$ kg, $m_2 = 0.001$ kg, $\theta_1(0) = 0$, $\theta_2(0) = \pi/2$, $p_{\theta_2}(0) = 0$ e $p_{\theta_1}(0) = 0.08$. Além disso, utilizou-se $\ell_1 = 0.5$ m e $\ell_2 = 0.2$ m. Na figura, todas as grandezas estão em unidades do SI.

Em que é possível verificar que praticamente não há diferença entre as duas soluções durante todo o tempo analisado.

No entanto, para o caso em que $m_1/m_2 = 10$,

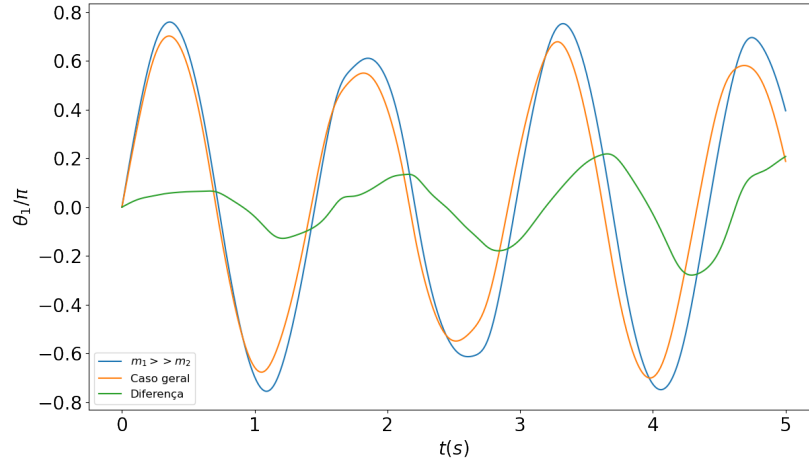


Figura 5: Plot usando $m_1/m_2 = 10$ com a aproximação $m_1 \gg m_2$, o caso geral e a diferença entre as duas curvas, utilizando o passo $\Delta t = 0.01$ s. Os parâmetros utilizados foram $m_1 = 0.1$ kg, $m_2 = 0.001$ kg, $\theta_1(0) = 0$, $\theta_2(0) = \pi/2$, $p_{\theta_2}(0) = 0$ e $p_{\theta_1}(0) = 0.08$. Além disso, utilizou-se $\ell_1 = 0.5$ m e $\ell_2 = 0.2$ m. Na figura, todas as grandezas estão em unidades do SI.

Podemos ver que, conforme o tempo passa, a diferença entre as duas soluções começa a crescer significativamente, demonstrando que a aproximação deixa de ser válida.

Então, a aproximação só será válida para casos em que a razão é maior ou igual a ordem de grandeza 10^2 .

4.2 Explorando a Seção de Poincaré

4.2.1 $m_1/m_2 = 100$

Como já discutido, uma técnica muito útil para analisar o sistema é plotar Seções de Poincaré do sistema para diversas condições iniciais. Algumas são especialmente reveladoras, como representado na Fig. 6.

A Seção de Poincaré revela um comportamento parecido ao de um pendulo simples para valores pequenos de $p_{\theta_1}(0)$, mas conforme os valores crescem a imagem se aproxima de uma elipse, demonstrando o novo comportamento do sistema. Usando essa fração das massas no caso geral, o resultado é muito próximo com o esperado, como mostra a Fig. 7.

As Seções de Poincaré são bastante reveladoras sobre dinâmica do problema, no entanto, são difíceis de serem interpretadas, como na Fig. 8, em que é possível ver algum comportamento oscilatório para valores mais baixos de $p_{\theta_1}(0)$, mas para valores mais altos, a dinâmica de m_2 parece ser imprevisível.

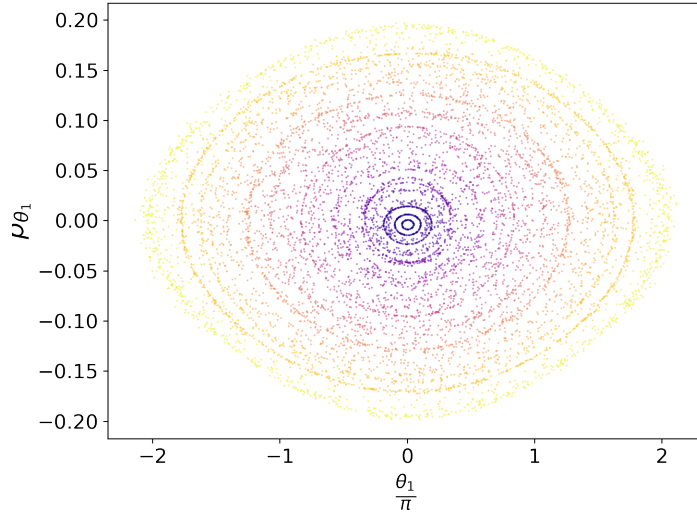


Figura 6: Seção de Poincaré com $m_1 \gg m_2$. Os parâmetros utilizados foram $m_1 = 0.1kg$, $m_2 = 0.001kg$, $\theta_1(0) = 0$, $\theta_2(0) = \pi/2$, $p_{\theta_2}(0) = 0$ e $p_{\theta_1}(0)$ variando de -0.2 até 0.2 em passos de 0.01 , em que o tempo final $Tf = 100s$ com passos $\Delta t = 0.01$. Quanto mais próximo do amarelo maior o parâmetro em módulo. Além disso, utilizou-se $\ell_1 = 0.5$ e $\ell_2 = 0.2m$. Na figura, todas as grandezas estão em unidades do SI.

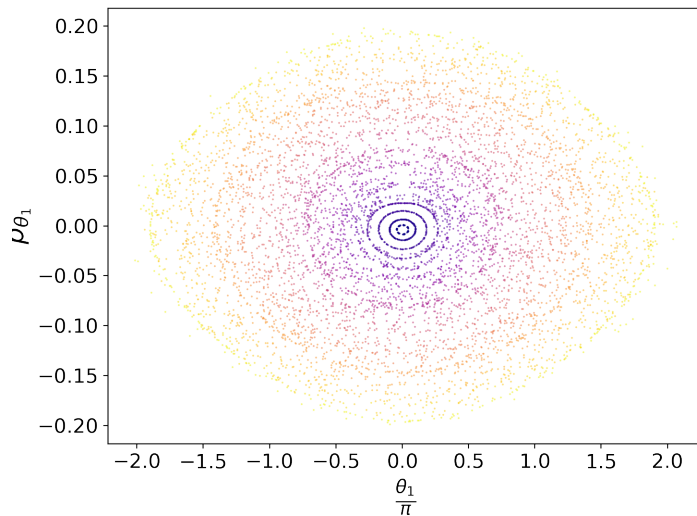


Figura 7: Seção de Poincaré para o **caso geral**. Os parâmetros utilizados foram $m_1 = 0.1kg$, $m_2 = 0.001kg$, $\theta_1(0) = 0$, $\theta_2(0) = \pi/2$, $p_{\theta_2}(0) = 0$ e $p_{\theta_1}(0)$ variando de -0.2 até 0.2 em passos de 0.01 . Além disso, utilizou-se $\ell_1 = 0.5$ e $\ell_2 = 0.2m$, em que o tempo final $Tf = 100s$ com passos $\Delta t = 0.01$. Quanto mais próximo do amarelo maior o parâmetro em módulo. Na figura, todas as grandezas estão em unidades do SI.

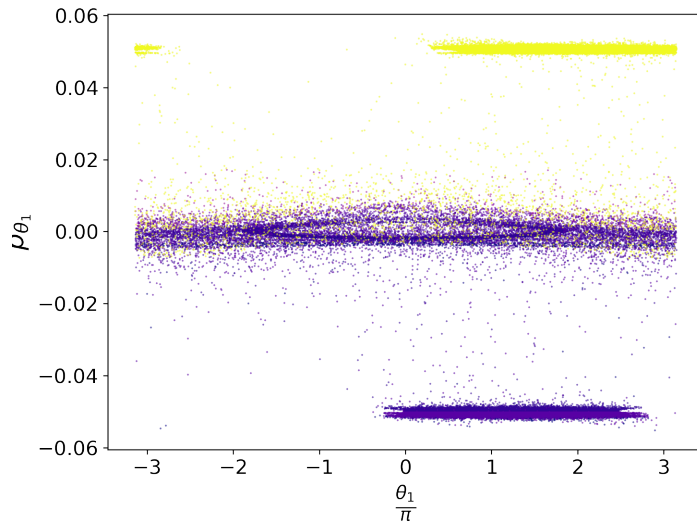


Figura 8: Seção de Poincaré da massa m_2 para $m_1 \gg m_2$. Os parâmetros utilizados foram $m_1 = 0.1\text{kg}$, $m_2 = 0.001\text{kg}$, $\theta_1(0) = 0$, $\theta_2(0) = \pi/2$, $p_{\theta_2}(0) = 0$ e $p_{\theta_1}(0)$ variando de -0.2 até 0.2 em passos de 0.01 . Além disso, utilizou-se $\ell_1 = 0.5$ e $\ell_2 = 0.2\text{m}$, em que o tempo final $Tf = 100\text{s}$ com passos $\Delta t = 0.01$. Quanto mais próximo do amarelo maior o parâmetro em módulo. Na figura, todas as grandezas estão em unidades do SI.

4.2.2 $m_1/m_2 = 1.25$

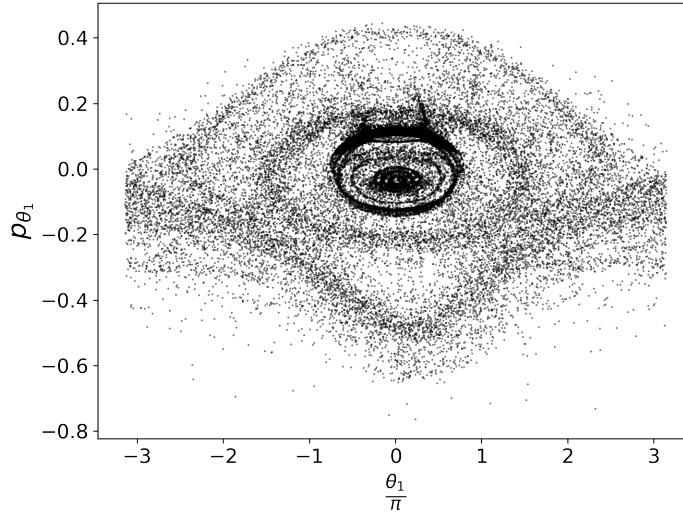


Figura 9: Caos na Seção de Poincaré da massa m_1 para o caso geral. Os parâmetros utilizados foram $m_1 = 0.1kg$, $m_2 = 0.08kg$, $\theta_1(0) = 0$, $\theta_2(0) = \pi/2$, $p_{\theta_1}(0) = -0.3$ e $p_{\theta_2}(0)$ variando de -0.2 até 0.2 em passos de 0.01 . Além disso, utilizou-se $\ell_1 = 0.5$ e $\ell_2 = 0.2m$, onde o tempo final $Tf = 1000s$ com passos $\Delta t = 0.01$. Na figura, todas as grandezas estão em unidades do SI.

4.2.3 $m_1/m_2 = 1$

Para a razão $m_1/m_2 = 1$, variando o parâmetro p_{θ_1} , é necessário usar o caso geral, visto que a aproximação não é mais válida. Um resultado interessante começa a aparecer. Como mostra a Seção de Poincaré da Fig. 9 e Fig. 10, em que o sistema demonstra comportamento caótico sem padrões reveladores.

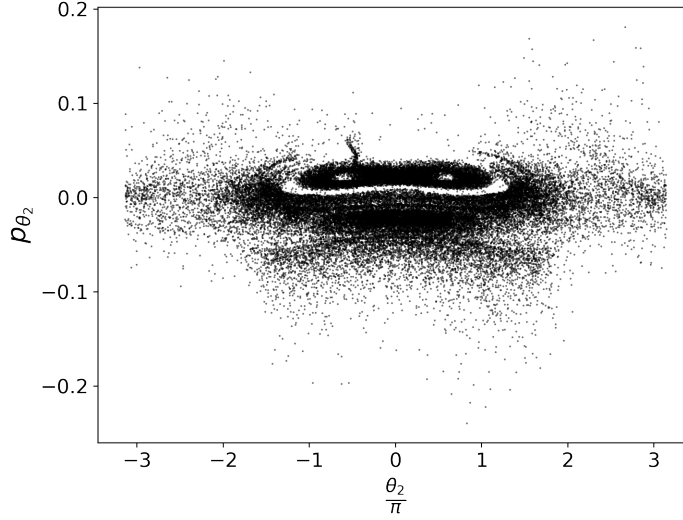


Figura 10: Caos na Seção de Poincaré da massa m_1 para o caso geral. Os parâmetros utilizados foram $m_1 = 0.1 \text{ kg}$, $m_2 = 0.1 \text{ kg}$, $\theta_1(0) = 0$, $\theta_2(0) = \pi/2$, $p_{\theta_1}(0) = 0.08$ e $p_{\theta_2}(0)$ variando de -0.3 até 0.3 em passos de 0.01 . Além disso, utilizou-se $\ell_1 = 0.5 \text{ m}$ e $\ell_2 = 0.2 \text{ m}$, onde o tempo final $Tf = 1000 \text{ s}$ com passos $\Delta t = 0.01 \text{ s}$. Na figura, todas as grandezas estão em unidades do SI.

4.3 Séries temporais

Uma forma de avaliar como a variação dos parâmetros muda o sistema, é medir a correlação de Pearson da coordenada generalizada de alguma massa, através da variação do parâmetro. A correlação de Pearson é definida como

$$r(i, j) = \frac{\langle x_i(t)x_j(t) \rangle - \langle x_i(t) \rangle \langle x_j(t) \rangle}{\sigma[x_i(t)]\sigma[x_j(t)]} \quad (16)$$

em que $x_i(t)$ e $x_j(t)$ são duas séries temporais, no caso $\theta(t)$ representará uma série temporal, e

$$\sigma^2[x_i(t)] = \langle x_i^2(t) \rangle - \langle x_i(t) \rangle^2. \quad (17)$$

Dessa forma, o resultado é a medida linear de similaridade das séries temporais, demonstrando as relações de tendencia de subida e descida.

Variando um parâmetro, é possível calcular a correlação entre todas as combinações das soluções, para analisar como as soluções diferem. Por exemplo, supondo uma coleção de condições iniciais $(x_1, \dots, x_j, \dots, x_n)$, haverá uma coleção de soluções $(y_1, \dots, y_j, \dots, y_n)$, no caso do pendulo duplo é interessante utilizar θ_1 ou θ_2 . Desta forma, basta fazer a correlação para combinação 2 a 2 de cada componente da solução. Isso pode ser visualizado por uma matriz de correlação na Fig. 11. A matriz é simétrica, uma vez que a correlação entre a solução θ_1 da condição j e θ_1 da condição inicial

i é a mesma independente da ordem, ou seja, $r(i, j) = r(j, i)$. Além disso, a diagonal da matriz não será um valor numérico, uma vez que a correlação de uma solução com ela mesma sempre será 1, e não trará nenhuma informação adicional.

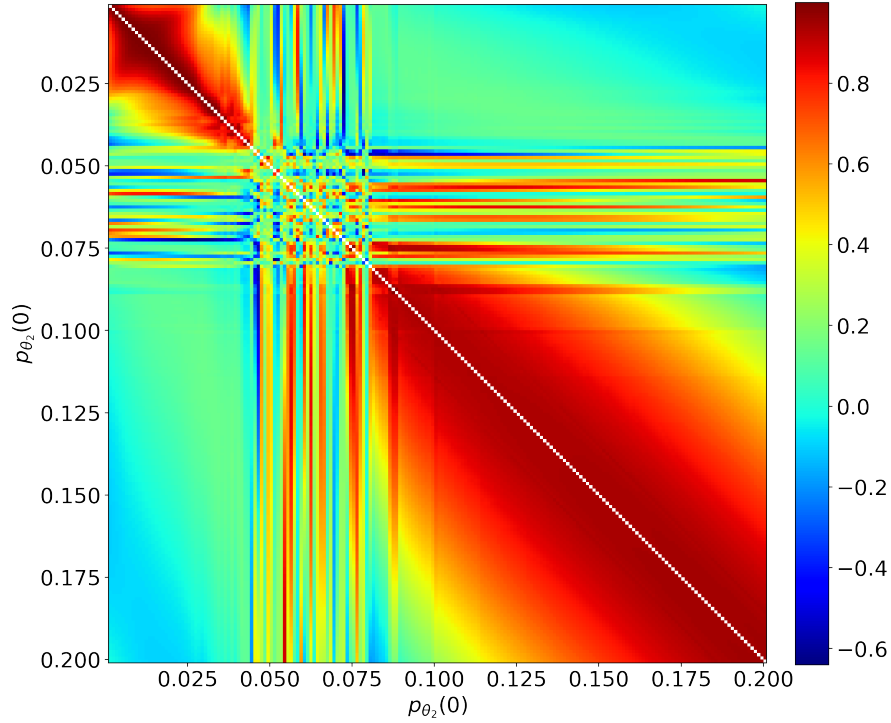


Figura 11: Matriz de correlação entre as soluções para diferentes condições iniciais. Os parâmetros utilizados foram $m_1 = 0.1kg$, $m_2 = 0.1kg$, $\theta_1(0) = 0$, $\theta_2(0) = \pi/2$, $p_{\theta_1}(0) = 0.08$ e $p_{\theta_2}(0)$ variando de 0 até 0.2 em passos de 0.01. Além disso, utilizou-se $\ell_1 = 0.5$ e $\ell_2 = 0.2m$, onde o tempo final $Tf = 20s$ com passos $\Delta t = 0.001$. Na figura, todas as grandezas estão em unidades do SI.

No intervalo em que $p_{\theta_2}(0)$ toma valores entre $[0.001, 0.040]$, ou então $[0.080, 0.200]$, é observado um comportamento previsível, pois existe uma maior correlação com as condições iniciais mais próximas em valor absoluto. Isso é visível pelo gradiente indo do vermelho ao verde, indicando uma alta correlação para os vizinhos e uma correlação que diminui com a distancia das condições. A parte fascinante se aplica aos valores de $p_{\theta_2}(0)$ entre $[0.040, 0.080]$, uma vez que esse padrão desaparece e as soluções podem ou não ser parecidas sem nenhum critério, demonstrando que nesse regime o sistema é extremamente suscetível as condições iniciais, logo, a suscetibilidade aos parâmetros é altamente não linear. Para visualizar que isso de fato está acontecendo, basta

olhar as séries temporais no intervalo $[0.001, 0.040]$ e comparar as séries temporais do intervalo $[0.040, 0.080]$, demonstradas na Fig. 12 e na Fig. 13, respectivamente.

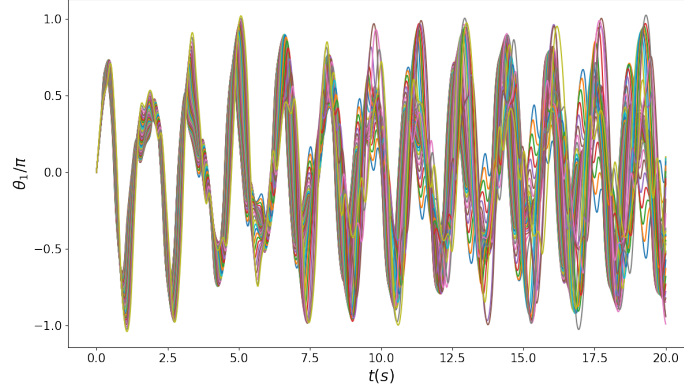


Figura 12: Séries temporais com os parâmetros utilizados foram $m_1 = 0.1kg$, $m_2 = 0.1kg$, $\theta_1(0) = 0$, $\theta_2(0) = \pi/2$, $p_{\theta_1}(0) = 0.08$ e $p_{\theta_2}(0)$ variando de 0.001 até 0.040 em passos de 0.01. Além disso, utilizou-se $\ell_1 = 0.5$ e $\ell_2 = 0.2m$, onde o tempo final $Tf = 20s$ com passos $\Delta t = 0.001$. **É evidente que há tendência comum entre as soluções, ainda que conforme o tempo aumente as soluções comecem a divergir** Na figura, todas as grandezas estão em unidades do SI.

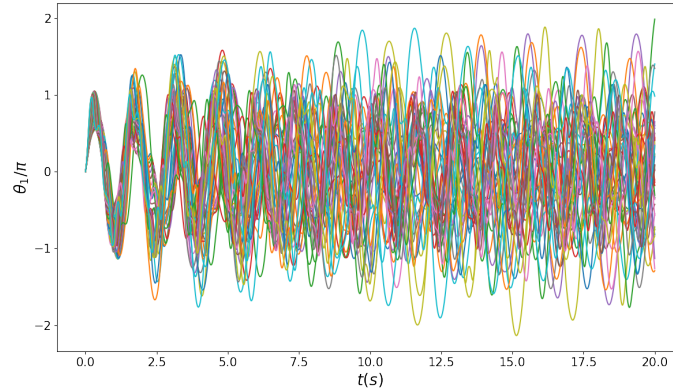


Figura 13: Séries temporais com os parâmetros utilizados foram $m_1 = 0.1kg$, $m_2 = 0.1kg$, $\theta_1(0) = 0$, $\theta_2(0) = \pi/2$, $p_{\theta_1}(0) = 0.08$ e $p_{\theta_2}(0)$ variando de 0.040 até 0.080 em passos de 0.01. Além disso, utilizou-se $\ell_1 = 0.5$ e $\ell_2 = 0.2m$, onde o tempo final $Tf = 20s$ com passos $\Delta t = 0.001$. **É evidente que não há tendência comum entre as soluções, ainda que conforme o tempo aumente as soluções comecem a divergir**. Na figura, todas as grandezas estão em unidades do SI.

5 Conclusão

O pendulo duplo é um dos sistemas físicos mais simples com um comportamento caótico evidenciado pela Seção de Poincaré, demonstrando uma gama de diferentes formas e dinâmicas bastante complicadas e imprevisíveis. Além disso, o sistema é extremamente suscetível às condições iniciais como mostrou a correlação de Pearson das soluções para diferentes condições iniciais.